

[Abbildungen = Images]

Objekttyp: **Appendix**

Zeitschrift: **Bericht der Eidgenössischen Kommission zur Überwachung der Radioaktivität**

Band (Jahr): **6 (1962)**

PDF erstellt am: **11.09.2024**

Nutzungsbedingungen

Die ETH-Bibliothek ist Anbieterin der digitalisierten Zeitschriften. Sie besitzt keine Urheberrechte an den Inhalten der Zeitschriften. Die Rechte liegen in der Regel bei den Herausgebern.

Die auf der Plattform e-periodica veröffentlichten Dokumente stehen für nicht-kommerzielle Zwecke in Lehre und Forschung sowie für die private Nutzung frei zur Verfügung. Einzelne Dateien oder Ausdrucke aus diesem Angebot können zusammen mit diesen Nutzungsbedingungen und den korrekten Herkunftsbezeichnungen weitergegeben werden.

Das Veröffentlichen von Bildern in Print- und Online-Publikationen ist nur mit vorheriger Genehmigung der Rechteinhaber erlaubt. Die systematische Speicherung von Teilen des elektronischen Angebots auf anderen Servern bedarf ebenfalls des schriftlichen Einverständnisses der Rechteinhaber.

Haftungsausschluss

Alle Angaben erfolgen ohne Gewähr für Vollständigkeit oder Richtigkeit. Es wird keine Haftung übernommen für Schäden durch die Verwendung von Informationen aus diesem Online-Angebot oder durch das Fehlen von Informationen. Dies gilt auch für Inhalte Dritter, die über dieses Angebot zugänglich sind.

Fig. 1

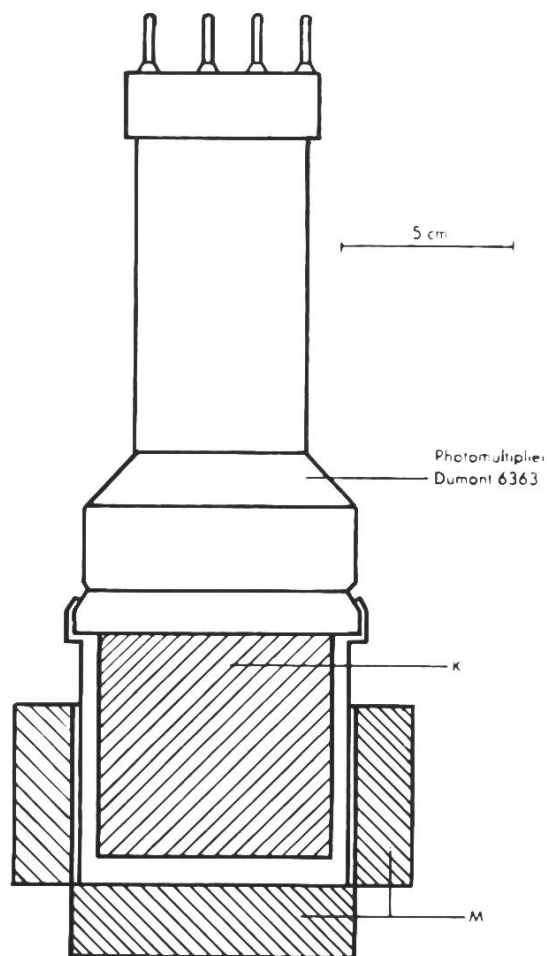


Fig. 1. Messanordnung für Milchpulverproben
 K = NaI-(Tl)-Kristall, M = Milchprobe.

Fig. 1. Dispositif de mesure pour les échantillons
 K = Cristal de NaI (Tl), M = échantillon de lait.

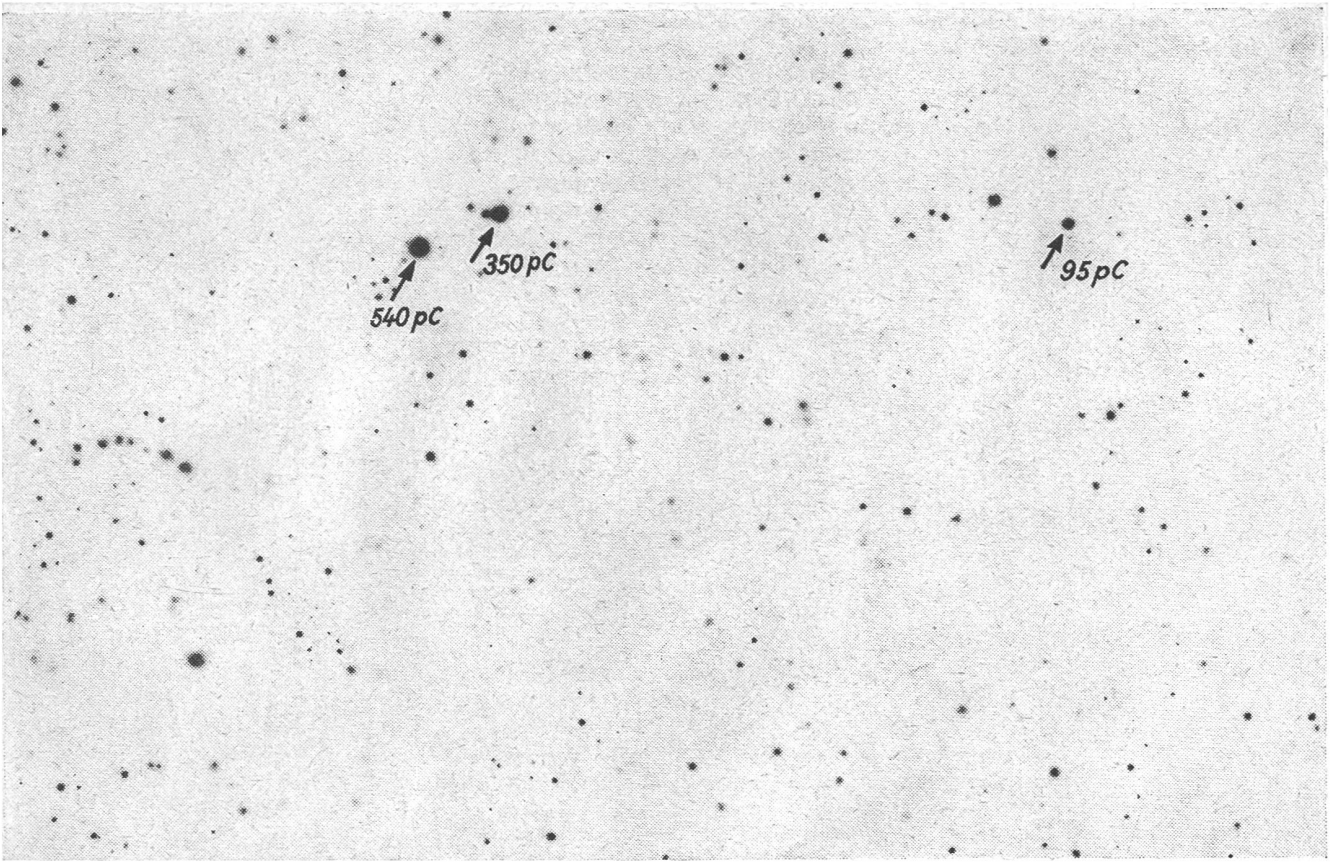
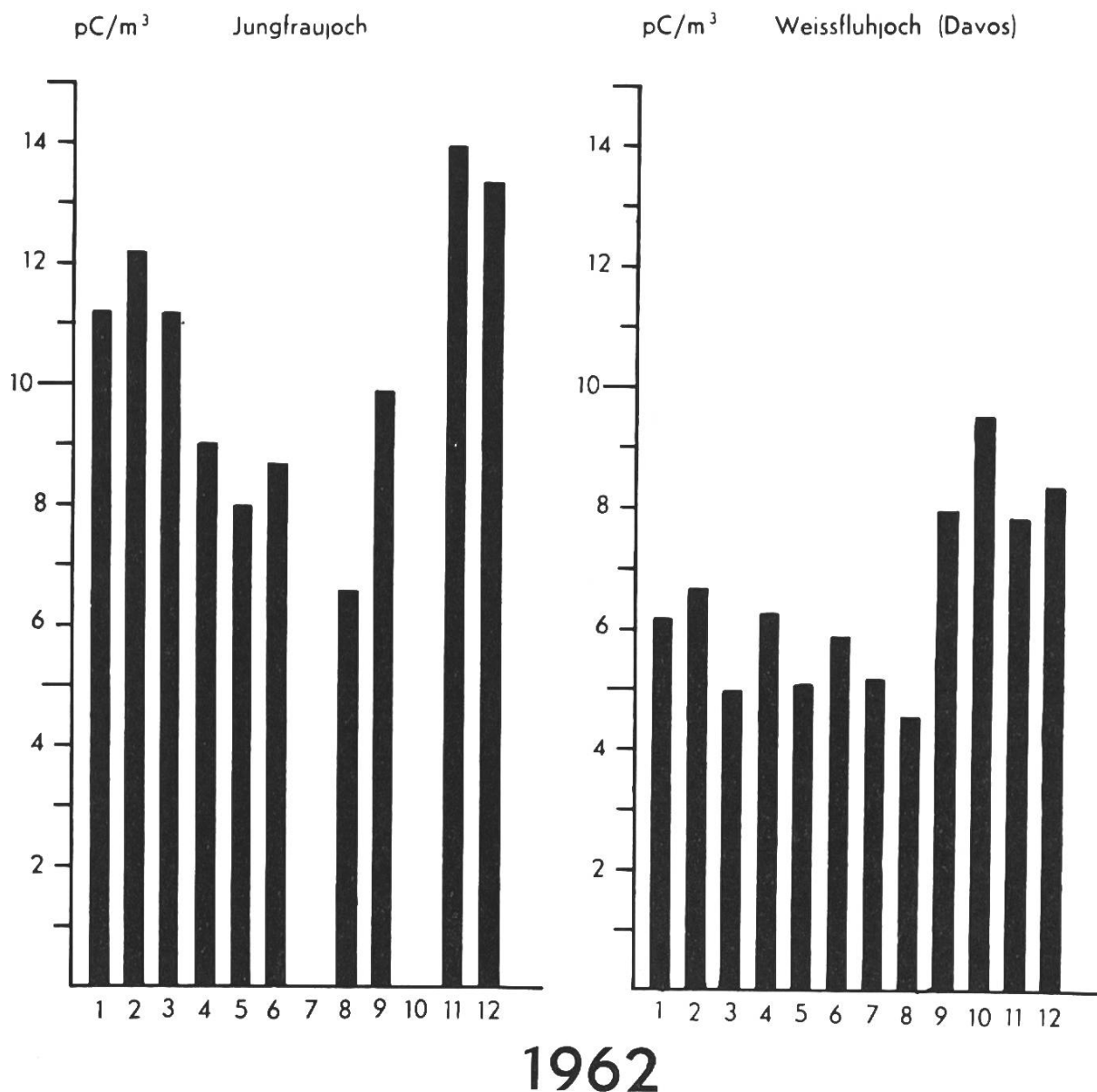


Fig. 3 (1)



1962

Fig. 3. Monatliche Mittelwerte der spezifischen Gesamt- β -Aktivität der Luft, bezogen auf 760 mm Hg und 0° C, für die Messstellen Jungfraujoch, Weissfluhjoch, Locarno, Payerne und Würenlingen während der Zeit vom 1. Januar bis 31. Dezember 1962.

Fig. 3. Moyennes mensuelles de l'activité bêta totale spécifique de l'air, à 760 mm Hg et 0° C, mesurée aux stations du Jungfraujoch, du Weissfluhjoch, de Locarno, de Payerne et de Würenlingen, du 1^{er} janvier au 31 décembre 1962.

◀ Fig. 2. Autoradiographie eines Filters. Es enthält die Rückstände aus 387 kg Luft, die am 19. 9. 1962 in 9300 m Höhe (untere Stratosphäre) während 30 Minuten gesammelt wurden. Die Pfeile markieren die drei heissesten Teilchen. Ihre Aktivität ist in Picocurie angegeben.

Fig. 2. Autoradiographie d'un filtre contenant les résidus de 387 kg d'air, recueillis le 19 septembre 1962 à une altitude de 9300 m (stratosphère inférieure) au cours de 30 minutes. Les flèches indiquent les trois particules les plus chaudes. Leur activité est exprimée en picocurie.

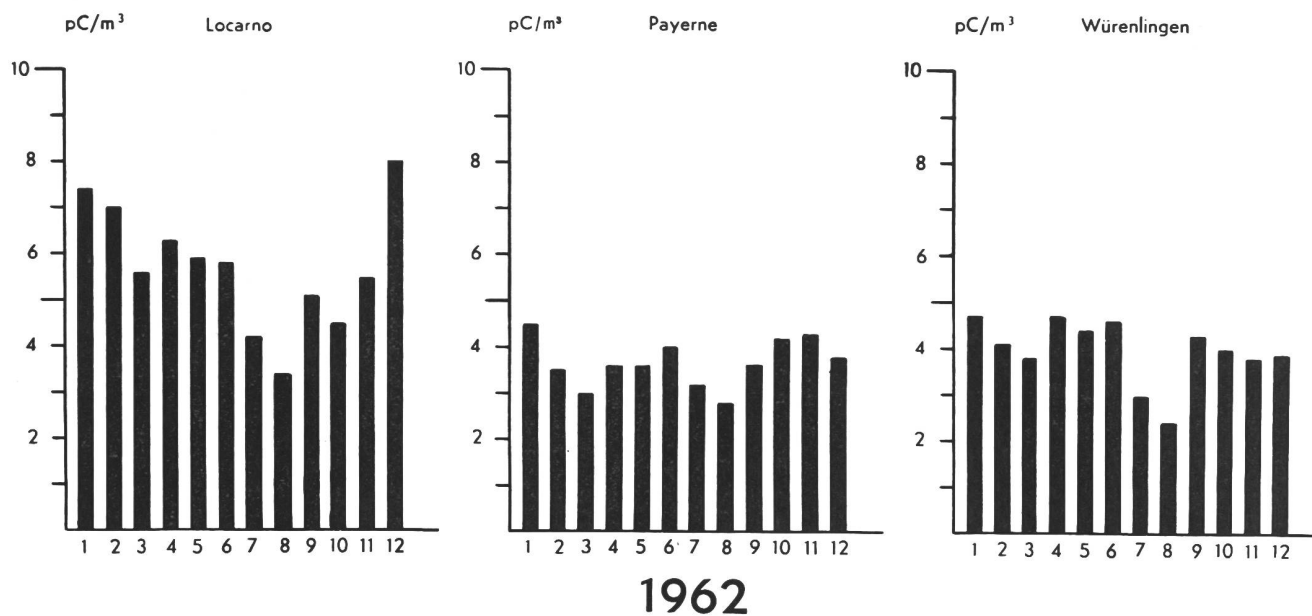


Fig. 3. Monatliche Mittelwerte der spezifischen Gesamt- β -Aktivität der Luft, bezogen auf 760 mm Hg und 0° C, für die Messstellen Jungfraujoch, Weissfluhjoch, Locarno, Payerne und Würenlingen während der Zeit vom 1. Januar bis 31. Dezember 1962.

Fig. 3. Moyennes mensuelles de l'activité bêta totale spécifique de l'air, à 760 mm Hg et 0° C, mesurée aux stations du Jungfraujoch, du Weissfluhjoch, de Locarno, de Payerne et de Würenlingen, du 1^{er} janvier au 31 décembre 1961.

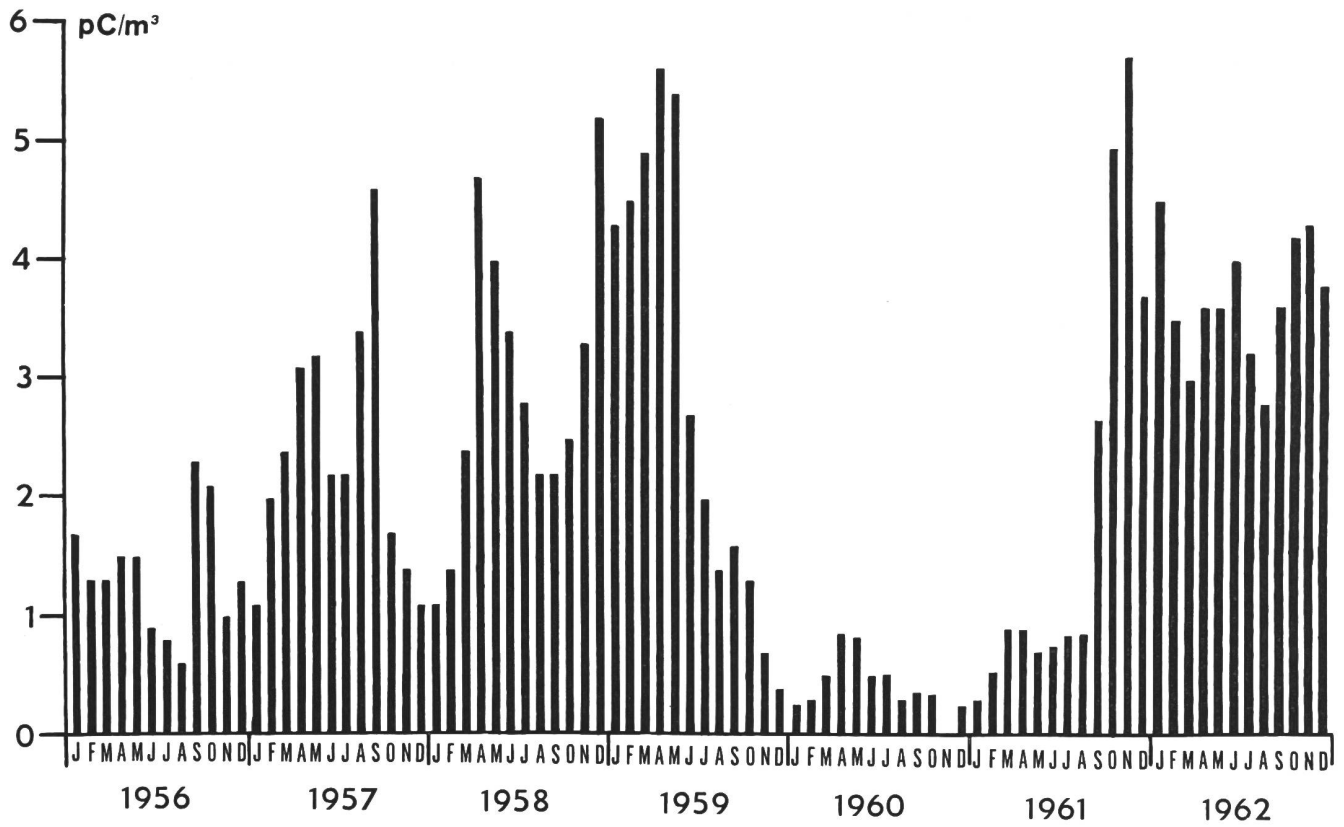


Fig. 4. Monatliche Mittelwerte der spezifischen Gesamt- β -Aktivität der Luft, bezogen auf 760 mm Hg und 0° C, für die Messstelle Payerne, während der Zeit vom 1. Januar 1956 bis 31. Dezember 1962.

Fig. 4. Moyennes mensuelles de l'activité bêta totale spécifique de l'air, à 760 mm Hg et 0° C, mesurée à la station de Payerne, du 1^{er} janvier 1956 au 31 décembre 1962.

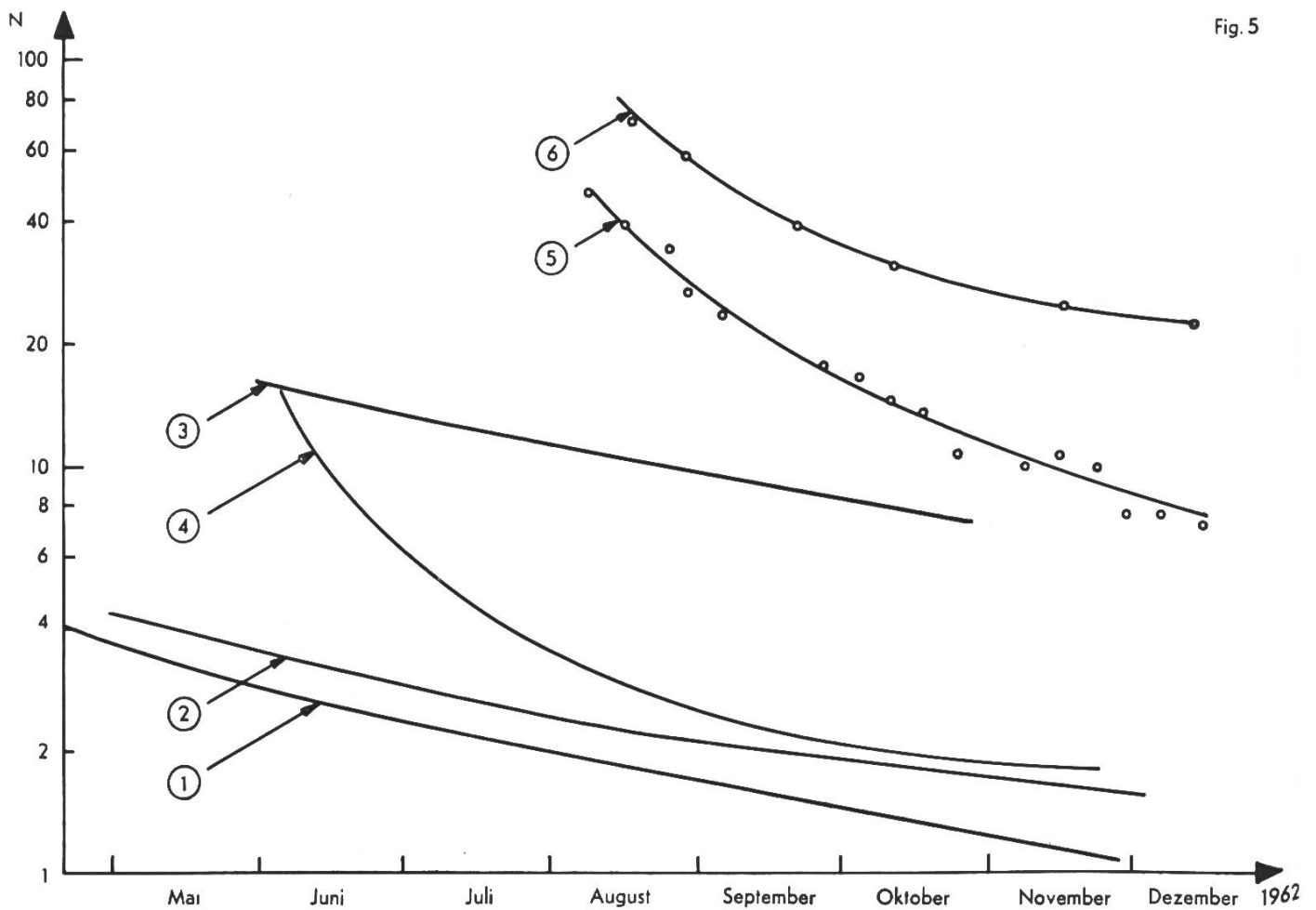


Fig. 5. Abnahme der Gesamt- β -Aktivität von heißen Teilchen (Stratosphärenluft) und Restfiltern.

Restfilter:

Kurve 1: Gesammelt am 16. 4. 62

Kurve 3: Gesammelt am 28. 5. 62

Kurve 5: Gesammelt am 31. 7. 62

Heisse Teilchen:

Kurve 2: Gesammelt am 16. 4. 62

Kurve 4: Gesammelt am 28. 5. 62

Kurve 6: Gesammelt am 31. 7. 62

Fig. 5. Décroissance de l'activité bêta totale des résidus d'air stratosphérique sur filtre. Répartition uniforme et particules chaudes.

Résidus répartis de manière uniforme:

Courbe 1: prélevés le 16. 4. 62

Courbe 3: prélevés le 28. 5. 62

Courbe 5: prélevés le 31. 7. 62

Particules chaudes:

Courbe 2: prélevées le 16. 4. 62

Courbe 4: prélevées le 28. 5. 62

Courbe 6: prélevées le 31. 7. 62

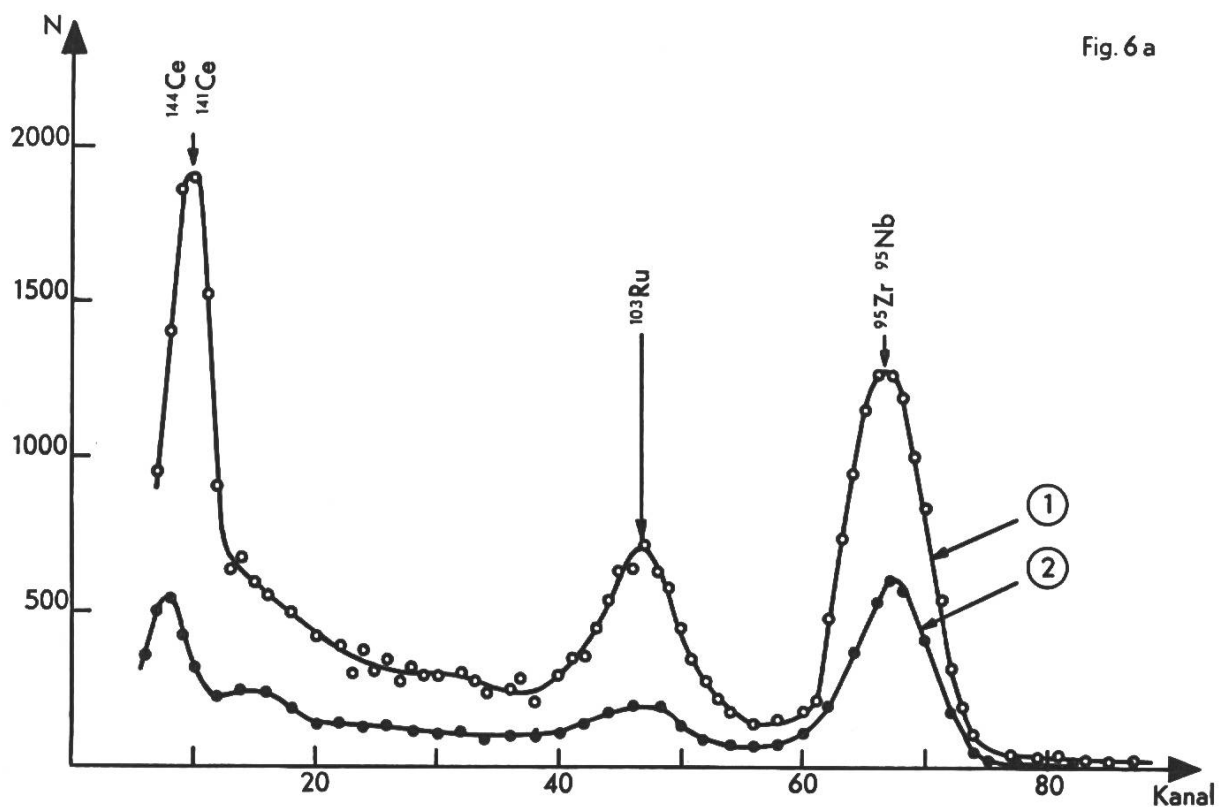


Fig. 6 a

Fig. 6a. Gamma-Spektrum der Restfilter aus der Stratosphärenluft vom 31. Juli 1962 (vgl. Fig. 5, Kurve 5). Alle stärkeren heißen Teilchen sind aus den Filtern entfernt.

Kurve 1: Gemessen am 11. 9. 62

Kurve 2: Gemessen am 10. 12. 62

Fig. 6a. Spectre gamma des résidus d'air stratosphérique répartis sur filtre de manière uniforme, prélevés le 31 juillet 1962 (voir fig. 5, courbe 5). Toutes les particules les plus chaudes ont été éliminées du filtre.

Courbe 1: mesuré le 11. 9. 62

Courbe 2: mesuré le 10. 12. 62

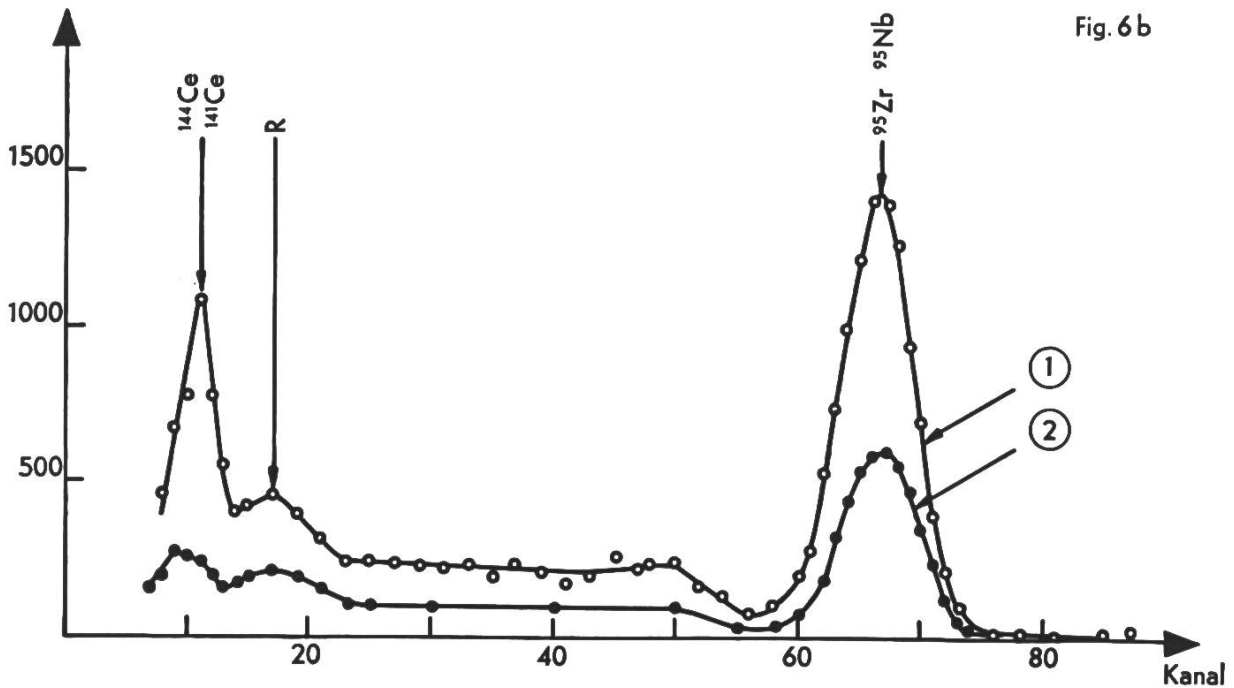


Fig. 6b. Gamma-Spektrum der heissen Teilchen aus dem Filtrerrückstand des Fluges vom 31. Juli 1962 (vgl. Fig. 5, Kurve 6).
 Kurve 1: Gemessen am 10. 9. 62
 Kurve 2: Gemessen am 10. 12. 62
 R = Rückstreuspitze

Fig. 6b. Spectre gamma des particules chaudes du résidu prélevé au cours du vol du 31 juillet 1962 (voir fig. 5, courbe 6).
 Courbe 1: mesuré le 10. 9. 62
 Courbe 2: mesuré le 10. 12. 62
 R = Pic de diffusion en retour

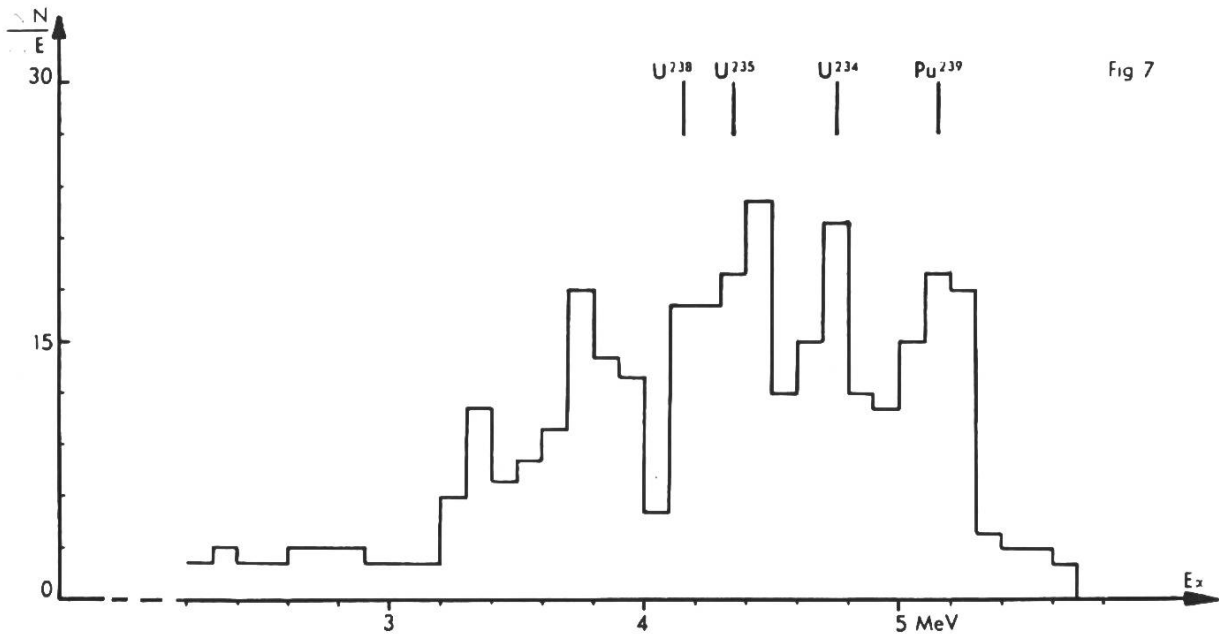


Fig. 7. Alpha-Spektrum eines heissen Teilchens.
 $\frac{\Delta N}{\Delta E}$ = Zahl der Alpha-Teilchen pro Energieintervall.

Fig. 7. Spectre alpha d'une particule chaude.
 $\frac{\Delta N}{\Delta E}$ = nombre de particules alpha par intervalle d'énergie.

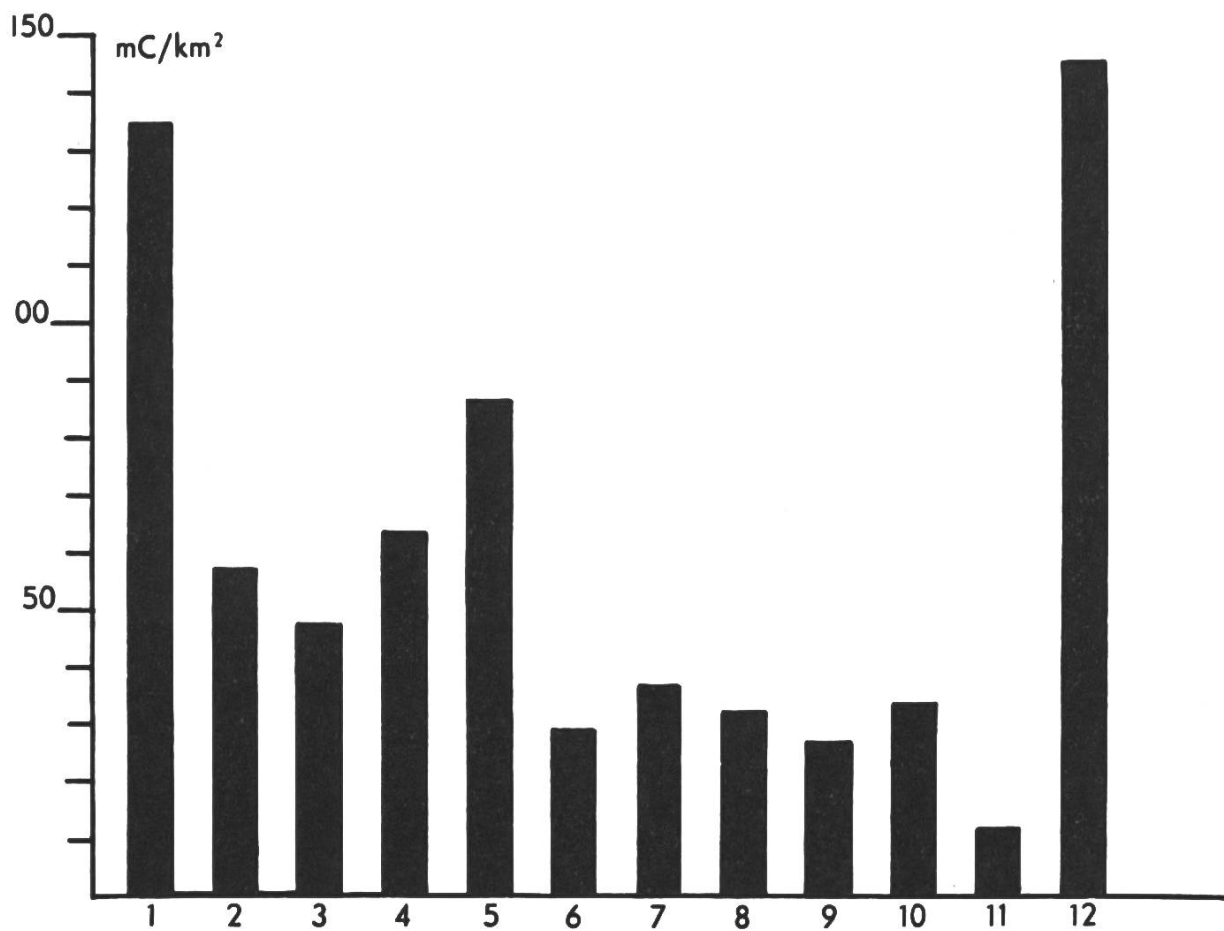
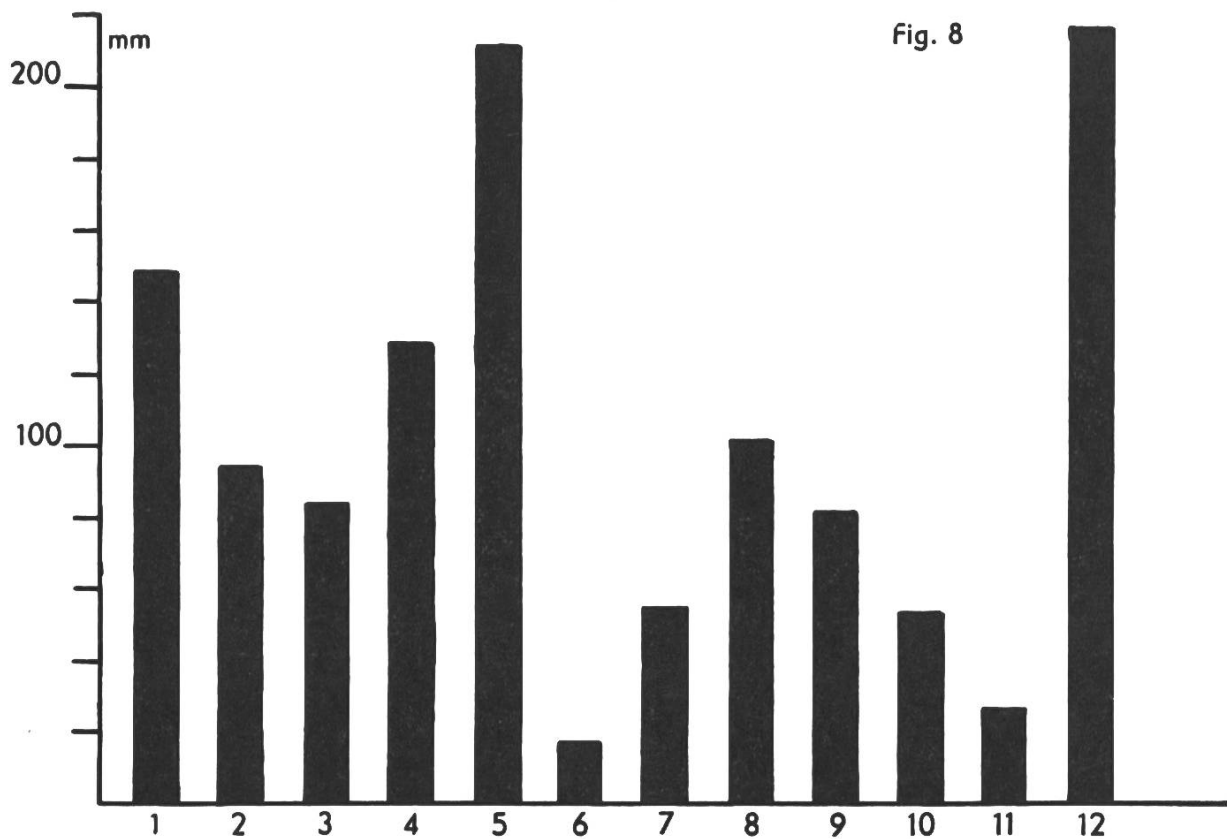


Fig. 8. Monatliche Niederschlagsmenge (oben) und monatliche, dem Boden durch Niederschlag zugeführte Gesamt- β -Aktivität pro km² Bodenfläche (unten) für die Messstelle Valsainte, in der Zeit vom 1. Januar bis 31. Dezember 1962.

Fig. 8. Quantité mensuelle des précipitations (en haut) et activité bêta totale accumulée mensuellement par km² au sol par les précipitations (en bas), pour la station de La Valsainte, du 1^{er} janvier au 31 décembre 1962.

Fig. 9

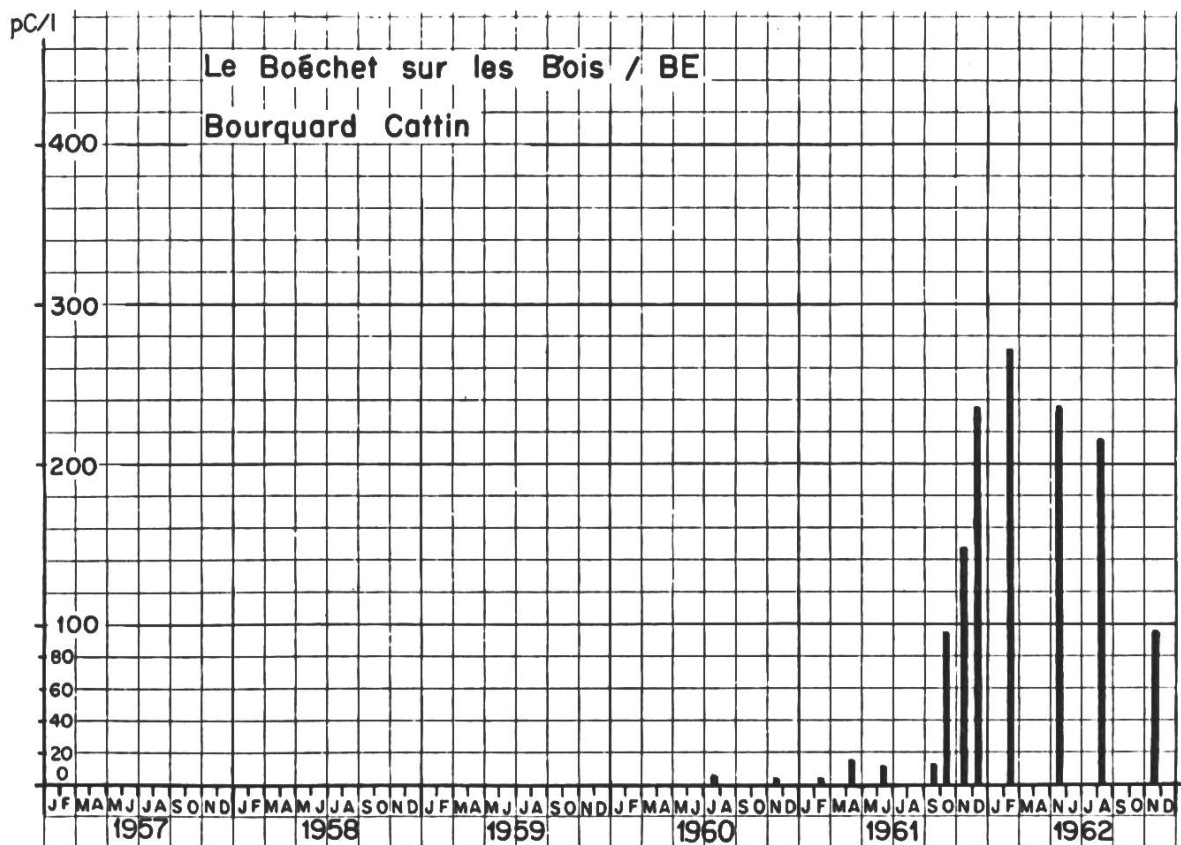


Fig. 10

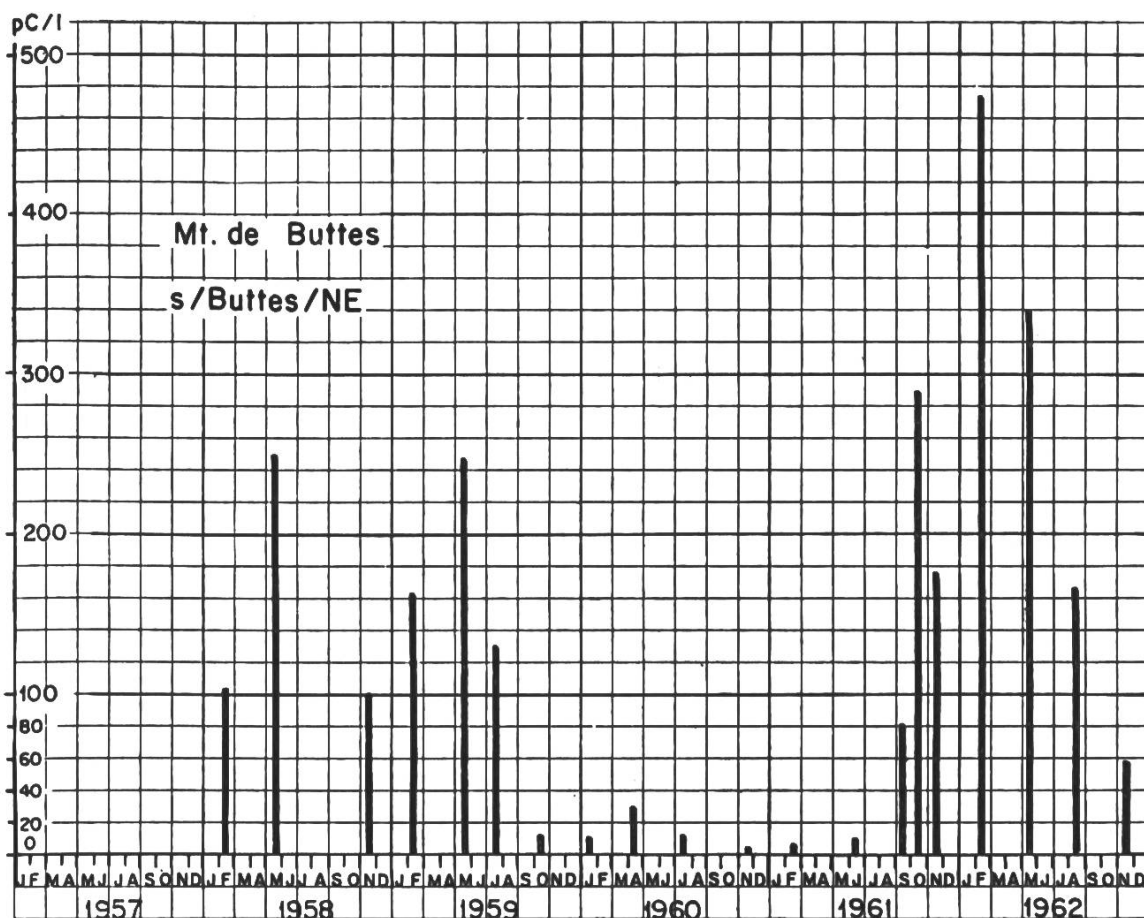


Fig. 9 u. 10 Spezifische Gesamt- β -Aktivität von Zisternenwasser in Picourie pro Liter Wasser.

Fig. 9 et 10 Activité bêta totale spécifique de l'eau des citernes en picocurie par litre d'eau.

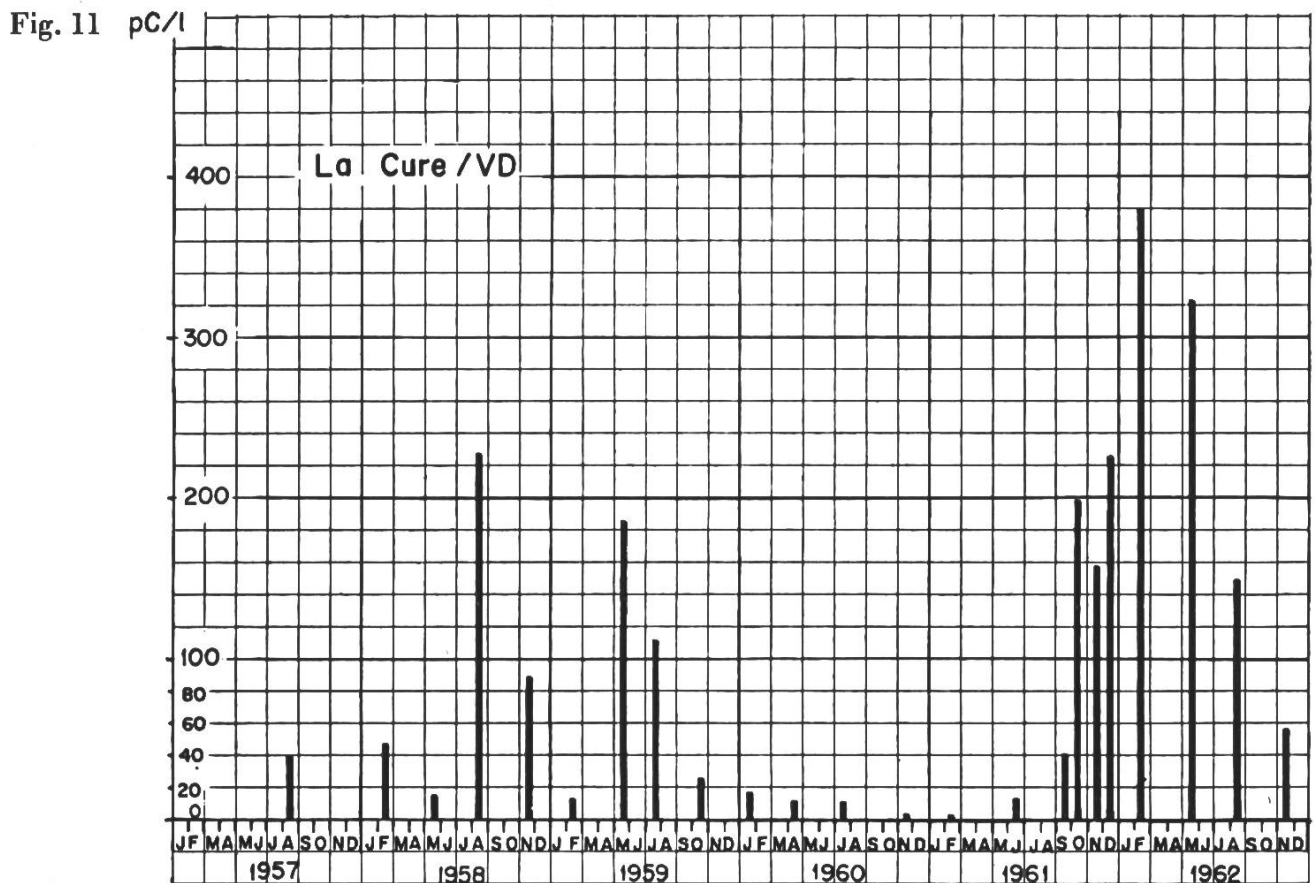


Fig. 11. Spezifische Gesamt- β -Aktivität von Zisternenwasser in Picocurie pro Liter.
 Fig. 11. Activité bêta totale spécifique de l'eau des citernes en picocurie par litre.

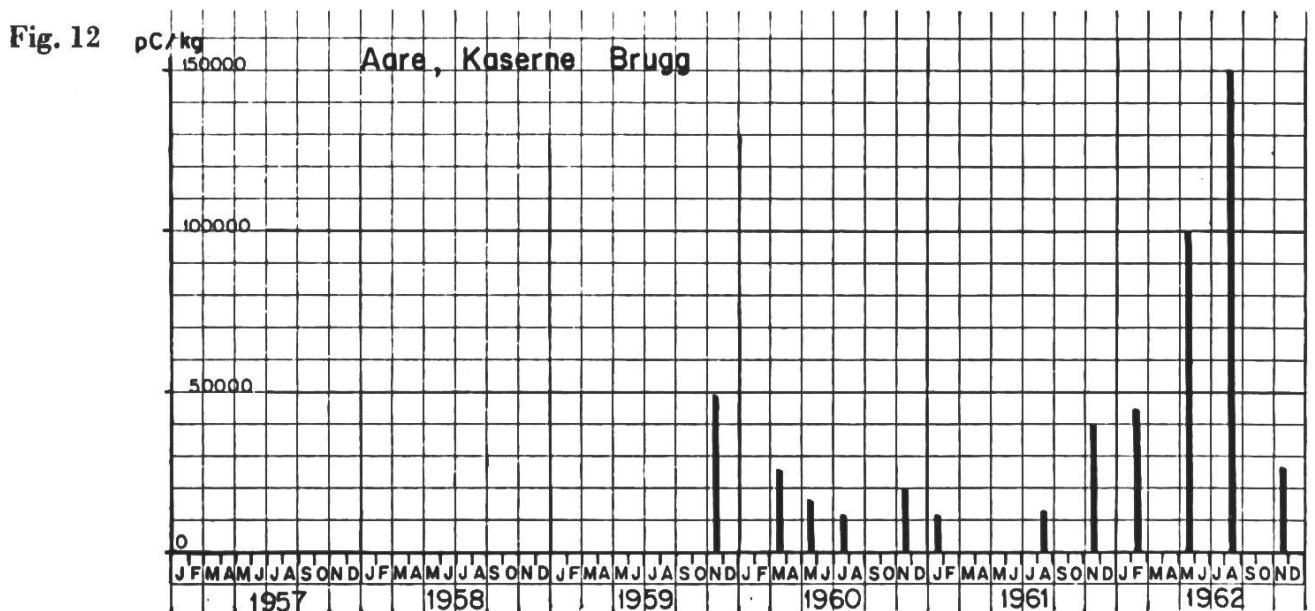


Fig. 12 Spezifische Gesamt- β -Aktivität von Plankton in Picocurie pro Kilogramm Trockensubstanz.
 Fig. 12 Activité bêta totale spécifique du plancton en picocurie par kilogramme de matière sèche.

Fig. 15

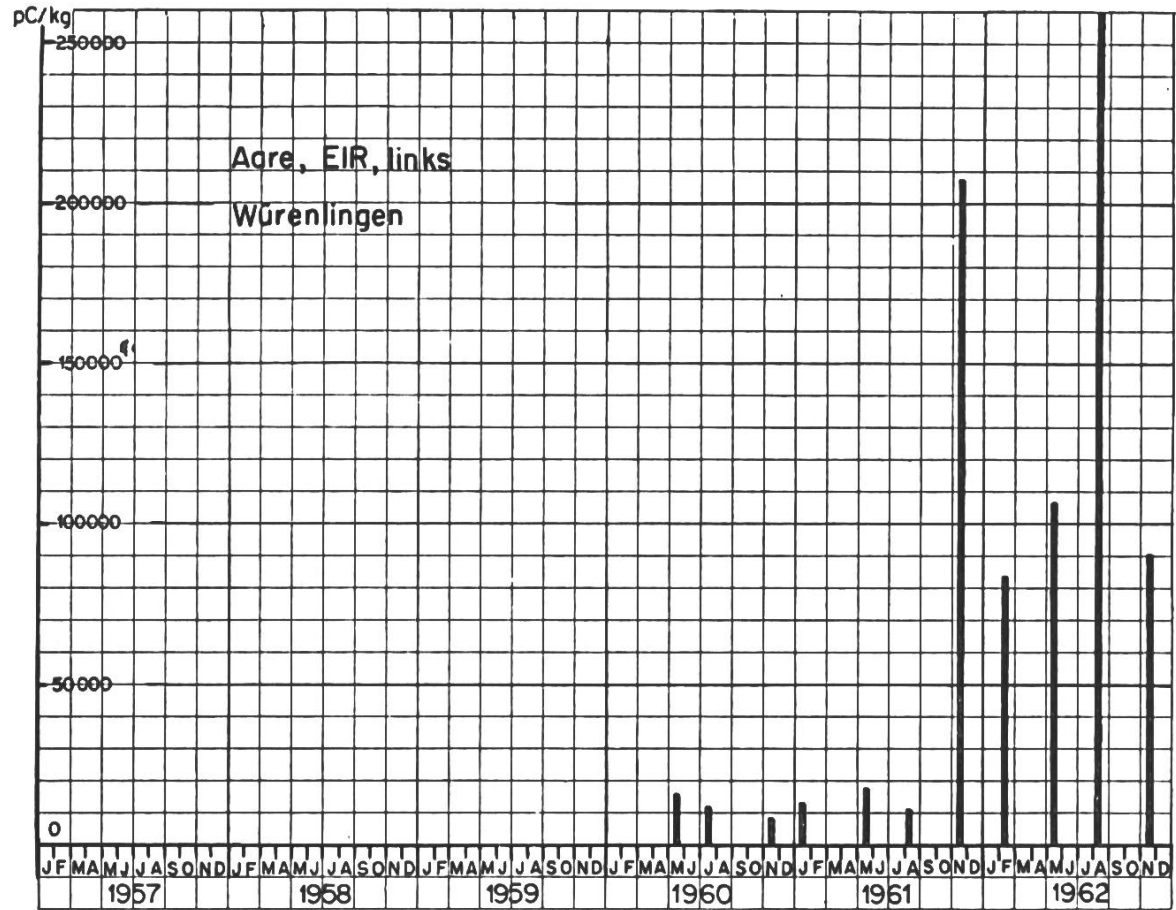


Fig. 16

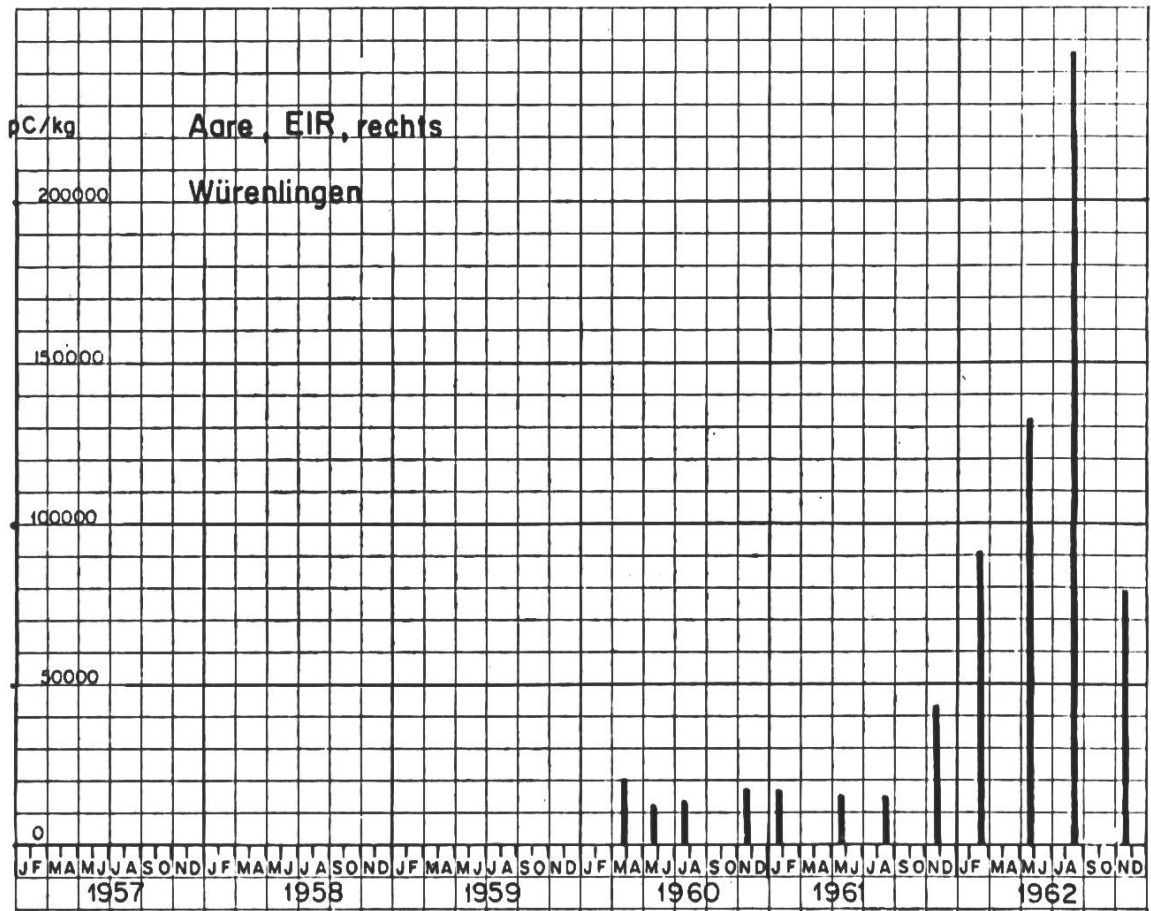


Fig. 15. u. 16. Spezifische Gesamt- β -Aktivität von Plankton in pC/kg Trockensubstanz.
Fig. 15. et 16. Activité bêta totale spécifique du plancton en pC/kg de matière sèche.

Fig. 17

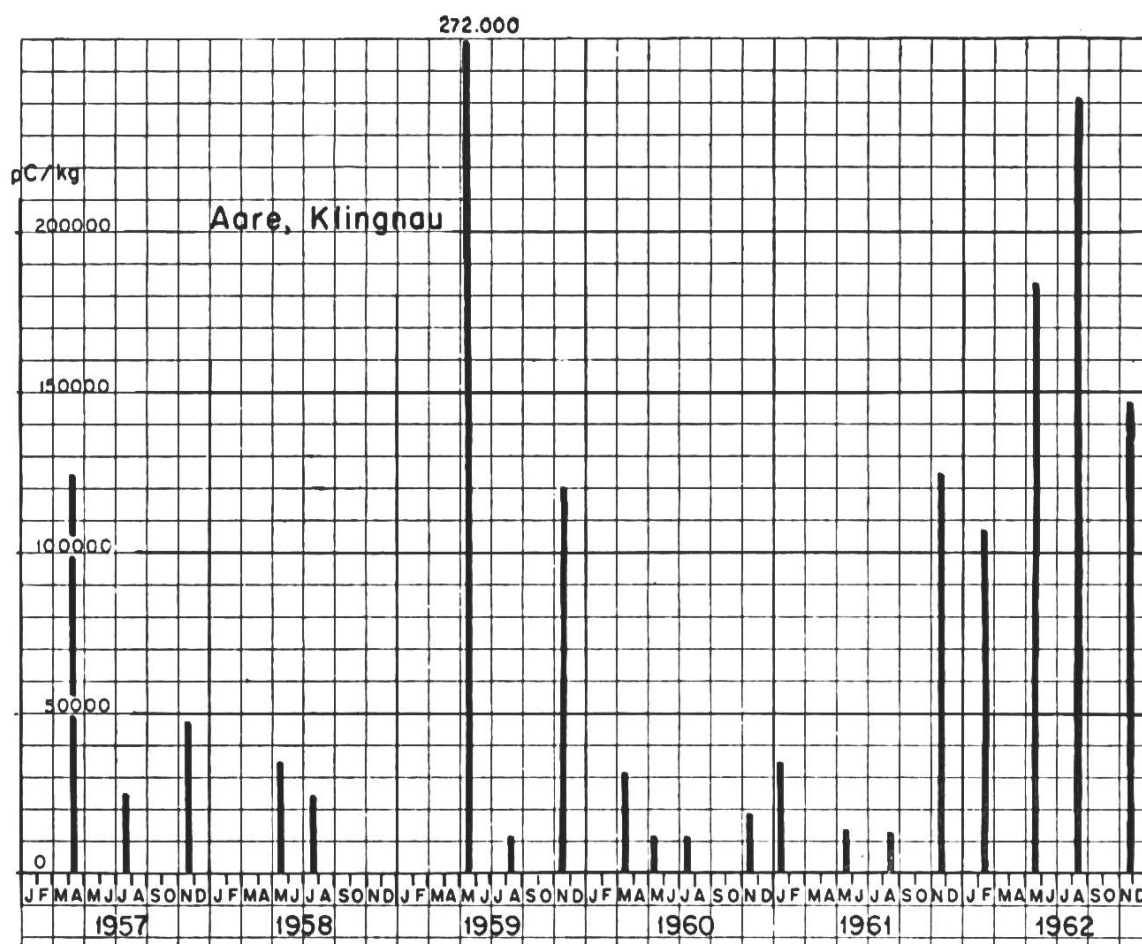


Fig. 18

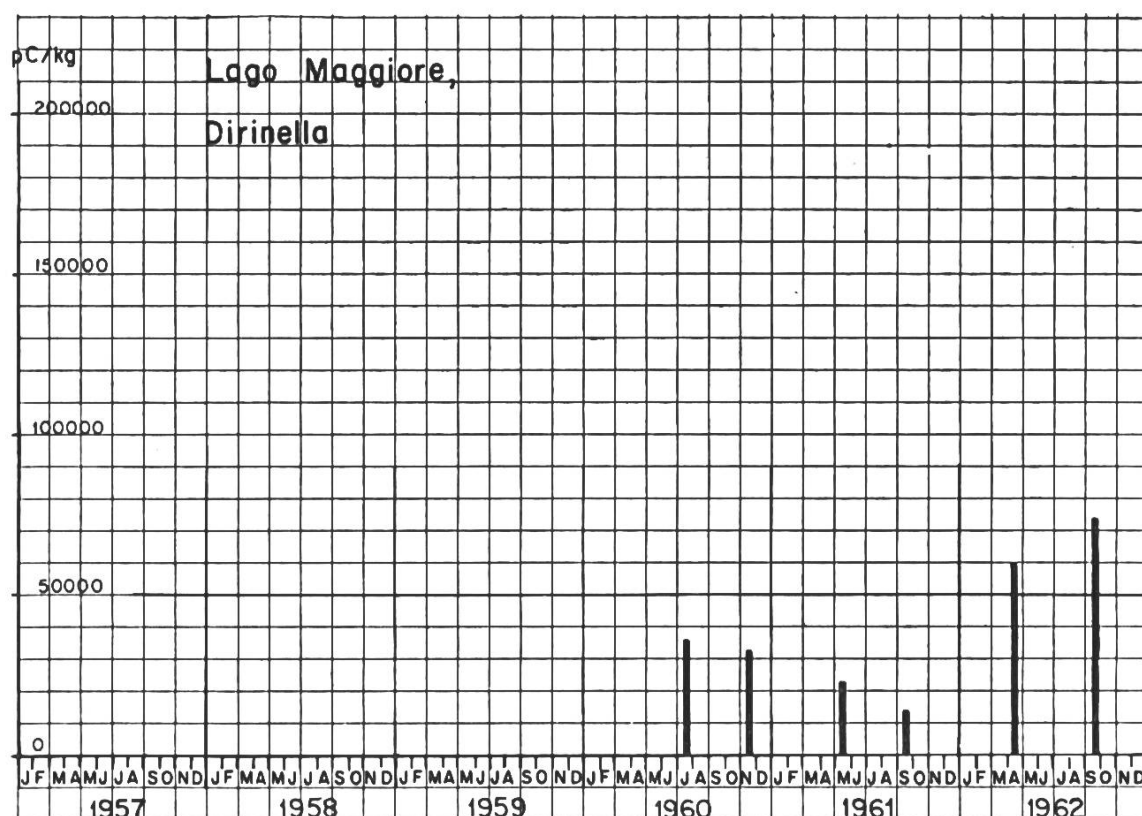


Fig. 17 u. 18. Spezifische Gesamt- β -Aktivität von Plankton in pC/kg Trockensubstanz.
 Fig. 17 et 18. Activité bêta totale spécifique du plancton en pC/kg de matière sèche.

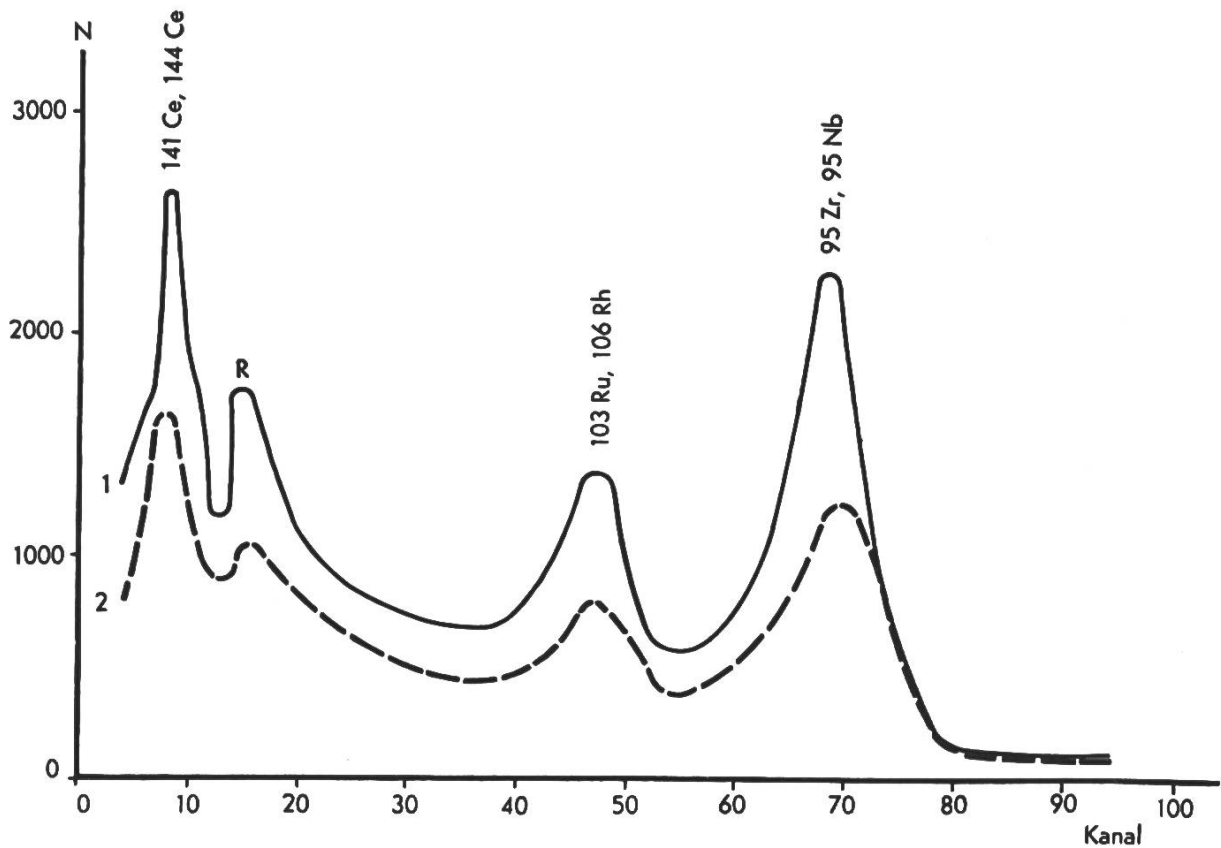


Fig. 19. Gamma-Spektrum von Wasserpflanzen aus der Aare (Stausee Klingnau) vom 3. Oktober 1962, gemessen am 30. Oktober 1962 (Kurve 1) und am 10. Januar 1963 (Kurve 2).

R = Rückstreuspitze

Fig. 19. Spectre gamma des plantes aquatiques, prélevées dans l'aar (retenue de Klingnau) le 3 octobre 1962, mesuré le 30 octobre 1962 (courbe 1) et le 10 janvier 1963 (courbe 2).

R = Pic de diffusion en retour

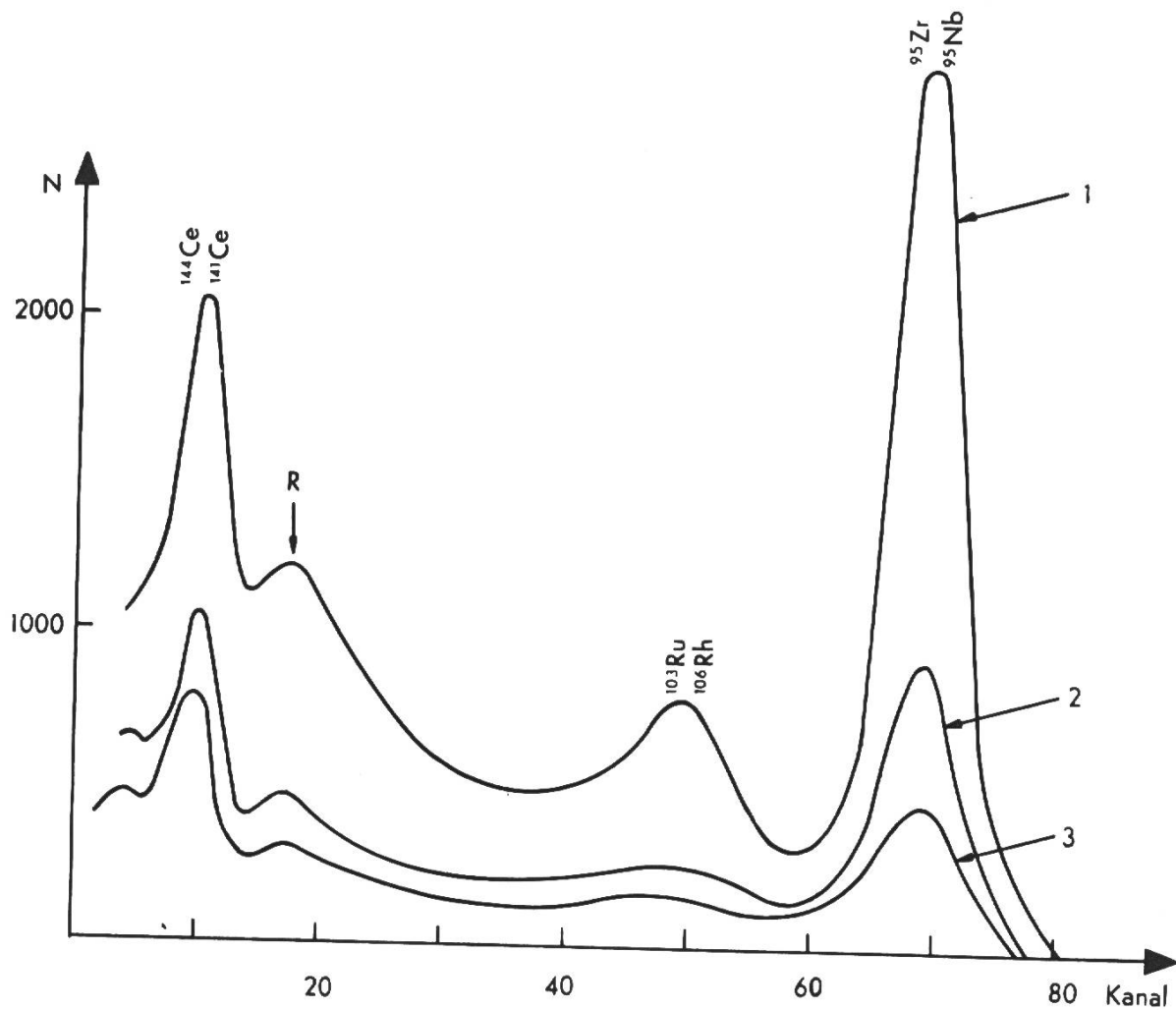


Fig. 20a. Gamma-Spektrum von Grasesche. Das Gras wurde am 10. November 1961 in Rafz geschnitten.

Kurve 1: Spektrum vom 27. 4. 62

Kurve 2: Spektrum vom 20. 8. 62

Kurve 3: Spektrum vom 16. 10. 62

R = Rückstreuspitze

Fig. 20a. Spectre gamma de cendres d'herbe. L'herbe a été récoltée le 10 novembre 1961 à Rafz.

Courbe 1: spectre du 27. 4. 62

Courbe 2: spectre du 20. 8. 62

Courbe 3: spectre du 16. 10. 62

R = Pic de diffusion en retour

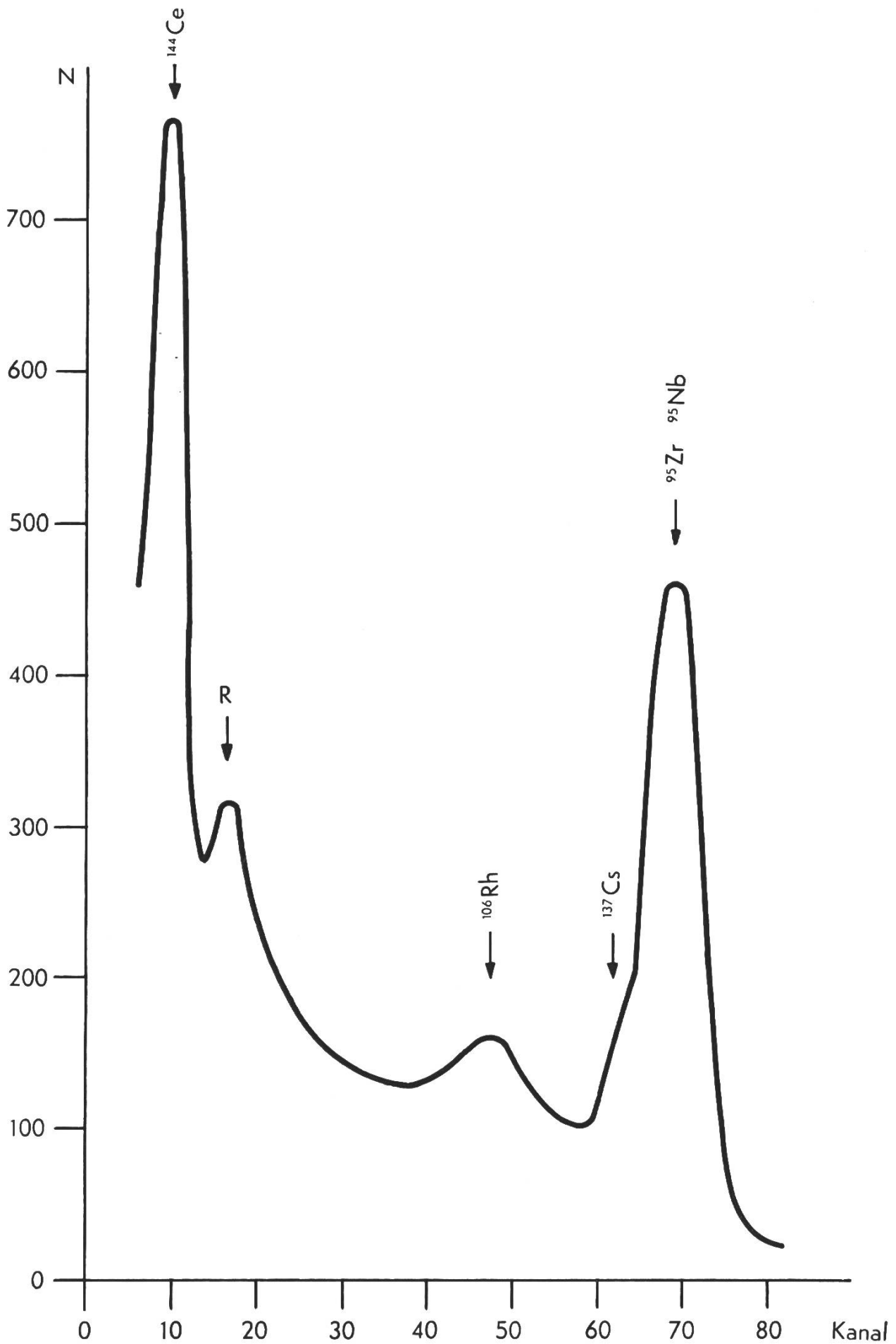


Fig. 20b. Kurve 3 der Fig. 20a in vergrößertem Ordinatenmassstab.
 Fig. 20b. Courbe 3 de la fig. 20a à l'échelle de l'ordonnée agrandie.

Fig. 20c

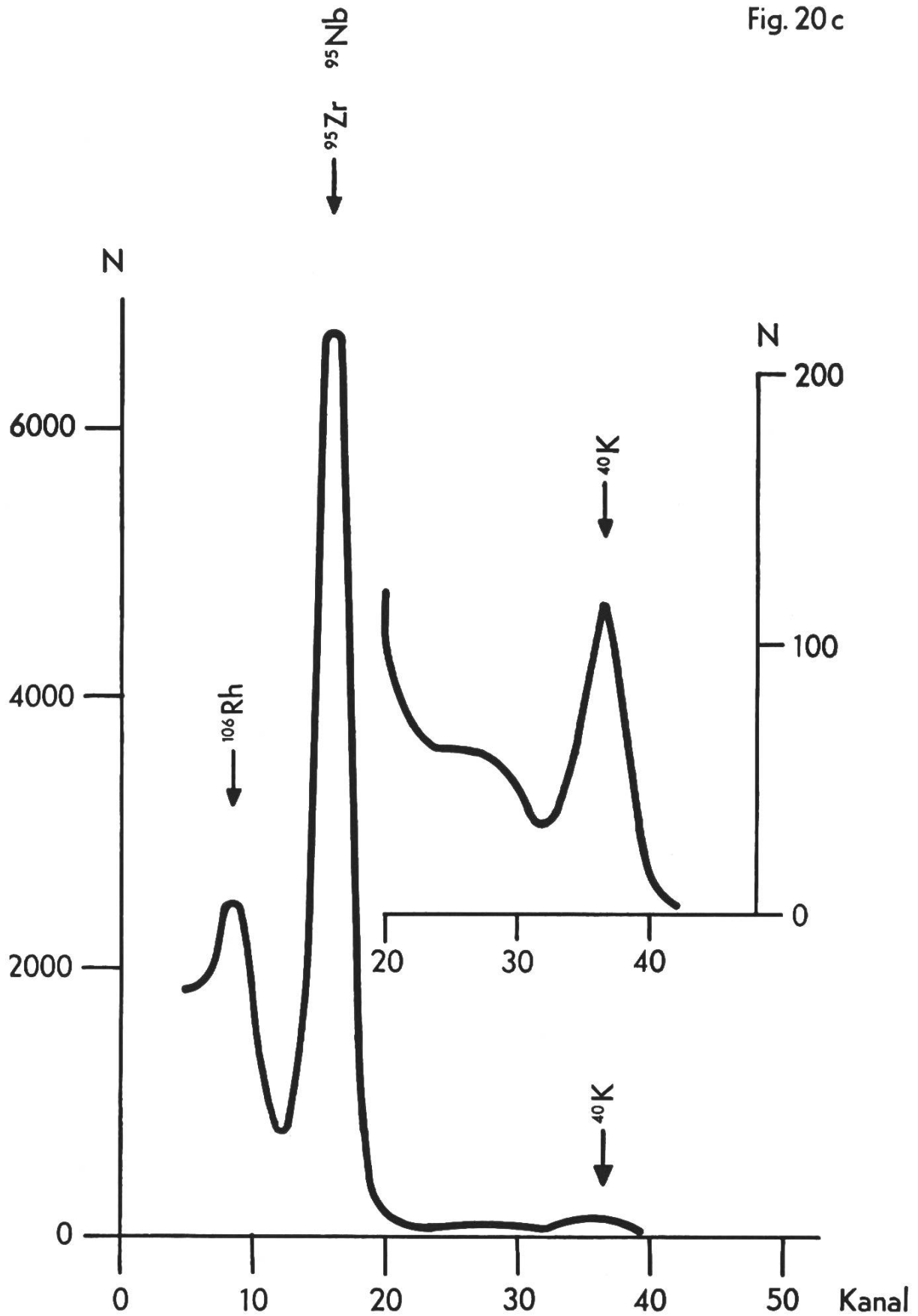


Fig. 20c. Kurve 1 der Fig. 20a bei höheren Gamma-Energien. Oben rechts: Ausschnitt mit Kalium-40-Linie in 20fach vergrößertem Ordinatenmassstab.

Fig. 20c. Courbe 1 de la fig. 20a pour des énergies gamma plus élevées. En haut à droite: pic du potassium-40 à l'échelle de l'ordonnée agrandie vingt fois.

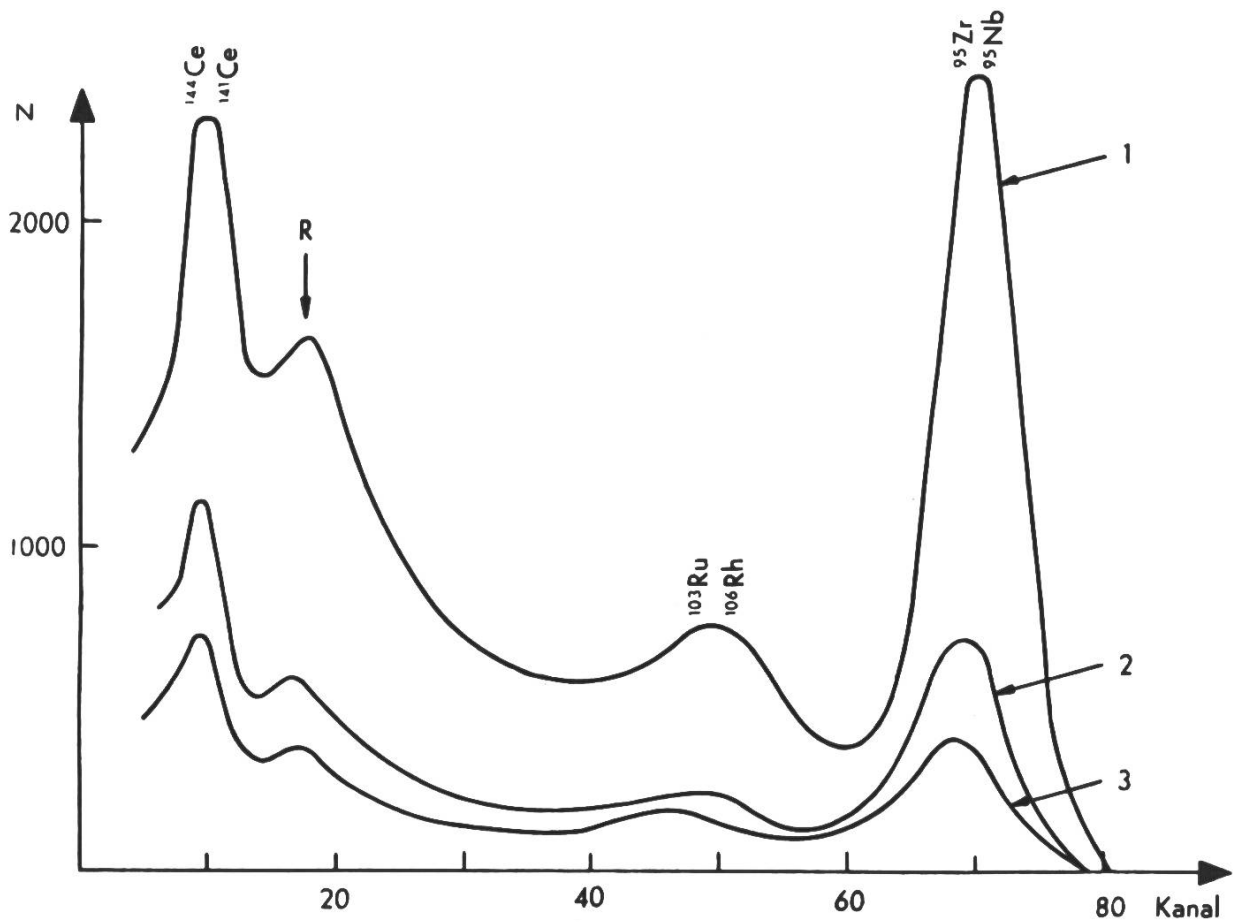


Fig. 20d. Gamma-Spektrum von Heu. Das Gras wurde am 10. November 1961 in Rafz geschnitten.

Kurve 1: Spektrum vom 27. 4. 62

Kurve 2: Spektrum vom 20. 8. 62

Kurve 3: Spektrum vom 16. 10. 62

Fig. 20d. Spectre gamma de foin récolté le 10 novembre 1961 à Rafz.

Courbe 1: spectre du 27. 4. 62

Courbe 2: spectre du 20. 8. 62

Courbe 3: spectre du 16. 10. 62

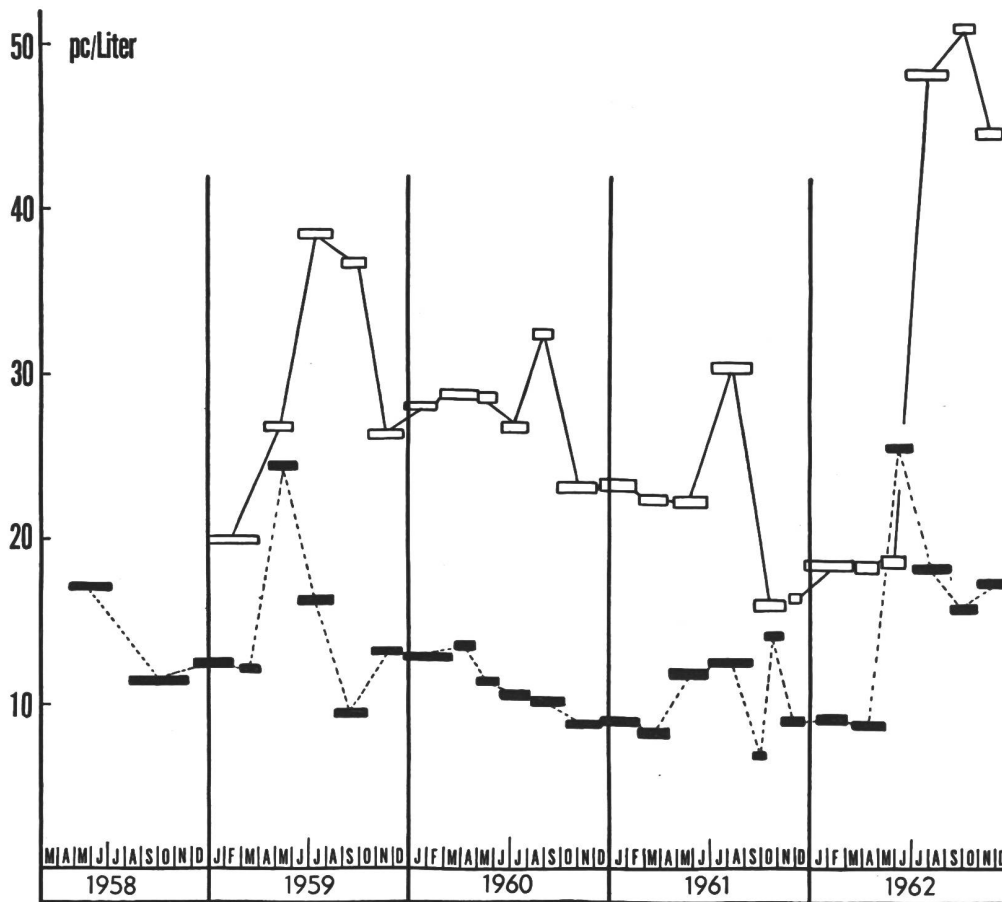


Fig. 21. Spezifische Strontium-90-Aktivität von Frischmilch aus dem Flachland und derjenigen aus einer Höhenlage für die Jahre 1958-1962. Einheit: Picocurie Strontium-90 pro Liter Milch.

Fig. 21. Activité spécifique du strontium-90 dans le lait frais de plaine et dans le lait frais de montagne pour les années 1958 à 1962. Unité: picocurie de strontium-90 par litre de lait.

■ Frischmilch, Flachland
 Lait frais, plaine
 □ Frischmilch, Höhenlage
 Lait frais, montagne

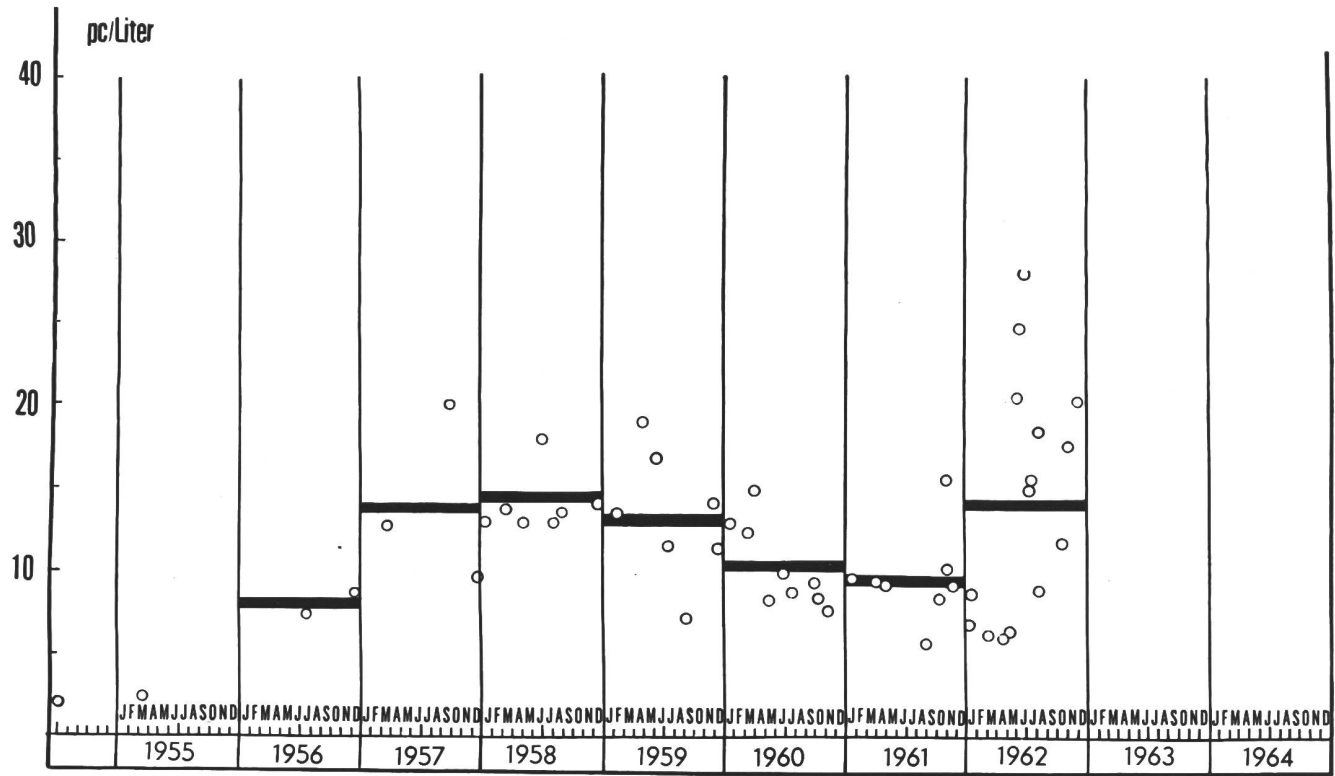


Fig. 22. Spezifische Strontium-90-Aktivität von Trockenmilch (Flachland) seit 1954. Einheit: Picocurie pro Liter Milch.
Fig. 22. Activité spécifique du strontium-90 dans le lait en poudre (plaine) à partir de 1954. Unité: picocurie par litre de lait.

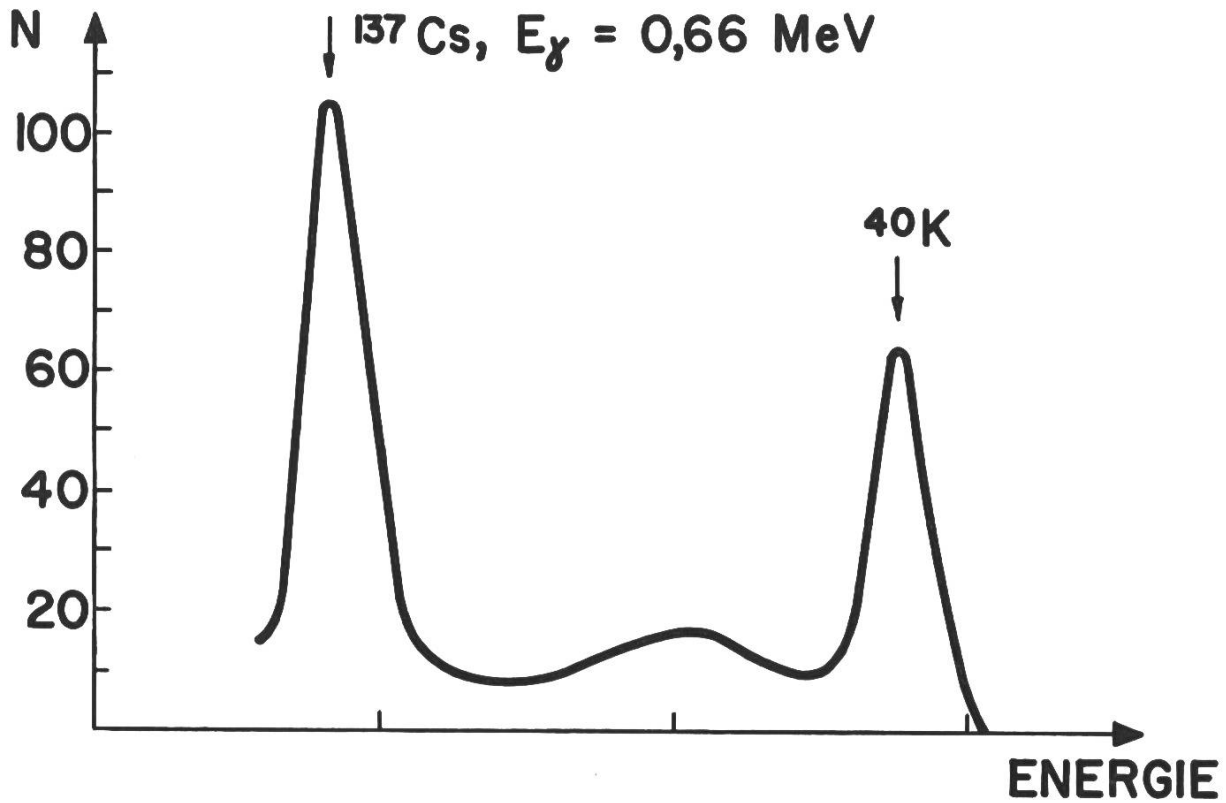


Fig. 23a. Gamma-Spektrum einer Trockenmilchprobe vom Juni 1962.

Fig. 23a. Spectre gamma d'un échantillon de lait en poudre fabriqué en juin 1962.

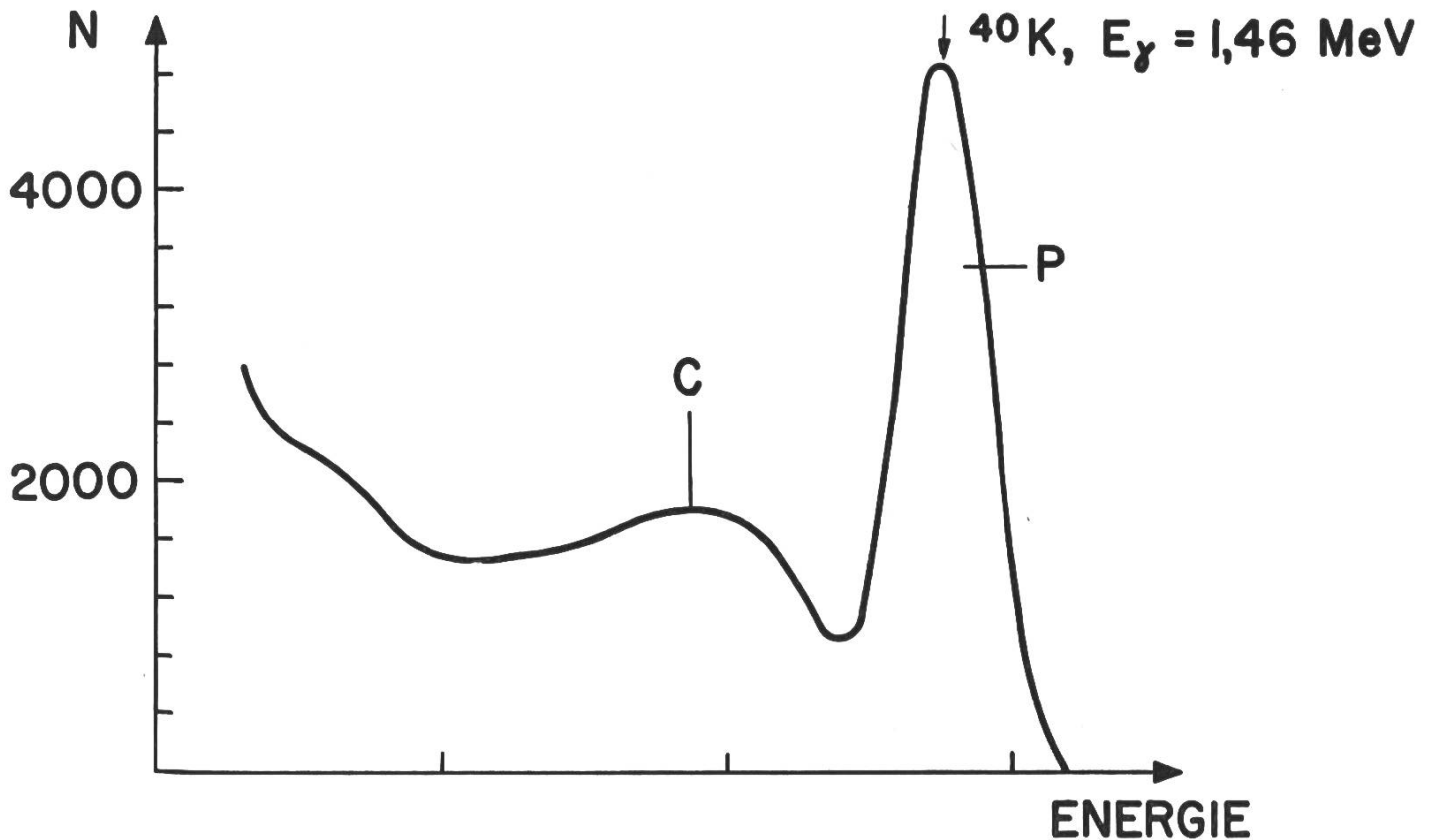


Fig. 23b. Eichmessung mit natürlichem Kaliumchlorid. C = Comptonverteilung, P = Photospitze.

Fig. 23b. Etalonnage au chlorure de potassium naturel. C = Région Compton, P = Pic photoélectrique.